

اصلاح ضریب کریگر براساس دوره‌های بازگشت مختلف به منظور برآورد دبی حداکثر سیل (مطالعه موردي: حوضه آبریز ایران مرکزي)

علی فتحزاده^۱ - استادیار آبخیزداری، دانشگاه اردکان، یزد، ایران

اعظم جайдري - کارشناس ارشد آبخیزداری، دانشگاه یزد، یزد، ایران

تاریخ دریافت: ۱۳۹۲/۴/۲۵ تاریخ تصویب: ۱۳۹۲/۹/۲۶

چکیده

سیل یکی از مهم‌ترین عوامل تهدید انسان، سرمایه و امکانات بشری محسوب شده که بهدلیل شرایط اقلیمی و توپوگرافی و بهویژه بارش‌های باشد و مدت زیاد بهوقوع می‌پوندد. مقابله با سیلاب در هر منطقه مستلزم اطلاع از مقدار دبی سیلابی و دوره بازگشت آن می‌باشد. در بسیاری از مناطق دنیا و در حوضه‌های فاقد آمار جهت برآورد دبی حداکثر سیل از روابط تجربی استفاده می‌شود که در این میان فرمول کریگر به دلیل سادگی و در دسترس بودن پارامترهای مورد نیاز از کارایی گسترده‌ای برخوردار است. این در حالی است که مشخص نبودن دوره بازگشت ارقام دبی‌های برآورد شده نیز از جمله ایرادات وارد بر این روش می‌باشد. این تحقیق با وارد نمودن دوره بازگشت به مقادیر ضریب منطقه‌ای کریگر به بررسی دامنه تغییرات آن را در مناطق مختلف حوضه آبریز ایران مرکزی پرداخته است. بدین منظور آمار مربوط به دبی حداکثر لحظه‌ای ۲۹ ایستگاه هیدرومتری واقع در حوضه ایران مرکزی طی سال‌های ۱۳۴۴-۹۰ جمع‌آوری گردید. سپس با انجام آزمون داده‌های پرت، با استفاده از روش گروین-بک و آزمون کفايت داده‌های ماکوس، صحت و قابلیت اعتماد نسبی داده‌های ثبت شده مورد ارزیابی قرار گرفت و در هر ایستگاه با استفاده از روش عصی-فازی، بازسازی نواقص آماری صورت گرفت. در مرحله بعد با هدف تعیین دوره بازگشت و با استفاده از تحلیل فراوانی سیلاب، ارقام دبی‌های سیلابی برآورد و سپس ضریب منطقه‌ای فرمول کریگر تعیین گردید. نتایج حاصل از اعتبارسنجی مدل نشان داد که دامنه تغییرات ضریب منطقه‌ای کریگر در حوضه ایران مرکزی بسیار کمتر از میانگین جهانی آن بوده و میانگین درصد خطا مطلق روش کریگر در برآورد دبی حداکثر سیلابی این مناطق، ۵۴/۸۵ درصد می‌باشد. همچنین برخلاف تصور موجود حل رابطه‌ی کریگر از طریق برقرار تناسب بین دبی حداکثر با مساحت حوضه بالادست همگن با آن منجر به خطاها فاحشی خواهد گردید.

کلید واژه‌ها: سیلاب، مدل کریگر، مدل فازی، ایران مرکزی.

۱. مقدمه

مطابق آمار تهیه شده توسط سازمان ملل متحد در میان بلایای طبیعی، سیل و طوفان بیشترین تلفات و خسارات را به جوامع بشری وارد آورده‌اند، به گونه‌ای که تنها در یک دهه اخیر متوجه به سال ۲۰۰۰ میلادی، میزان خسارات ناشی از سیل و طوفان بالغ بر ۲۱ میلیارد دلار در مقابل ۱۸ میلیارد دلار خسارات ناشی از زلزله بوده است. در ایران، بررسی آمار خسارات محسوس و مستقیم سیل ۵۰ سال اخیر نشان دهنده رشد تقریباً ۲۵۰ درصدی خسارات دهه آخر نسبت به اولين دهه می‌باشد. حوضه آبریز ایران مرکزی از جمله مناطقی است که علیرغم وسعت زیاد بیشترین بحران را در ارتباط با ایستگاه‌های هیدرومتری و داده‌های سیلابی در سطح کشور داشته و این کمبود داده‌ها چالش اساسی در اجرای برنامه‌های مطالعاتی و عمرانی آن بهشمار می‌آید. تلاش در جهت رفع این کمبودها و دستیابی به برآوردهای دقیق از مهمنترین برنامه‌های مطالعات هیدرولوژی محسوب می‌گردد. بدیهی است با شناخت دقیق از آمار سیلاب، به تناسب می‌توان اقدامات مدیریتی و کنترلی مناسب با آن را نیز طراحی و اجرا نمود. از آنجایی که پیش‌بینی چگونگی وقوع یک متغیر در آینده، به تجزیه و تحلیل داده‌های آن در گذشته بستگی دارد، جهت پیش‌گیری خسارات ناشی از وقوع سیلاب، می‌بایست احتمال وقوع سیلاب‌های مهم را برآورد نمود تا باکارگیری روش‌های مناسب و تأسیسات خاص، اثرات سیلاب را کنترل کرد (مهدوی، ۱۳۸۶: ۲۱).

معمول‌ترین راه دستیابی به پارامترهایی نظری دبی حداکثر و حجم سیلاب، که در مباحث هیدرولوژی و پژوهش‌های مرتبط با آب نقش اساسی دارند، استفاده از آمار هیدرومتری حوضه می‌باشد. این در حالی است که در ایران به علت نبود ایستگاه‌ها و آمار ناقص، استفاده از روش‌های غیر مستقیم برآورد دبی سیلابی دارای اهمیت ویژه‌ای است. استفاده از روابط تجربی به دلیل سهولت استفاده، تخمین سریع و باکارگیری عوامل محدود، توجیه‌پذیر بوده و امکان برآورد آبده‌ی در حوضه‌های فاقد آمار را فراهم می‌سازد (محمدپور و همکاران، ۱۳۸۶: ۸). از آنجا که اکثر این روش‌ها برای مناطقی خاص با شرایط فیزیکی و اقلیمی ویژه ارائه شده و دارای ضرایبی هستند که منعکس‌کننده اثر عوامل زمینی و جوی در تبدیل بارش به رواناب و ایجاد دبی‌های حداکثر لحظه‌ای می‌باشند (اعتمادی، ۱۳۷۶: ۸۲)، بنابراین جهت کاربرد این روش‌ها در مناطق دیگر، واسنجی ضرایب آن‌ها ضروری بوده و استفاده از روابط یک منطقه با همان ضرایب در مناطق دیگر، خطرناک و موجب صرف هزینه‌های بی‌مورد در ساخت وسازهای آبی می‌شود.

فرمول کریگر^۱، از جمله روابط تجربی معروف با کاربرد فراوان در برآورد دبی حداکثر لحظه‌ای در حوضه‌های آبریز فاقد آمار است. در این رابطه با توجه به عامل مساحت، سایر عوامل موثر در شکل‌گیری دبی حداکثر، به صورت ضریب منطقه‌ای در نظر گرفته شده است (رابطه ۱).

$$Q = 46 \text{ CA}^{(0.894 A^{-0.048})} \quad (1)$$

که در آن؛ Q: دبی حداکثر لحظه‌ای (فوت مکعب بر ثانیه)، A: مساحت حوضه (مايل مربع) و C، ضریب منطقه‌ای کریگر بوده که مقدار حداکثر این ضریب برابر با ۲۰۰، تمامی سیلاب‌های مشاهده شده دنیا را پوشش می‌دهد. بیشترین مقدار آن در اکثر نقاط ایالات متحده و جهان برابر ۱۰۵ و در ایران نیز گاهی ضریب ۱۰۵ بدست آمده است (مهلوی، ۱۳۸۶: ۱۶۶). مهمترین ایراد وارد بر این روش مشخص نبودن ارقام دوره بازگشت دبی‌های سیلابی برآورده شده می‌باشد. از آنجایی که کشور ایران باویژگی‌های اقلیمی خاص خود، دارای شرایط آب و هوایی مختلفی بوده و خصوصاً استانهای مرکزی، نسبت به سایر نقاط از رطوبت کمتری برخوردار می‌باشند، لذا ضروری است که جهت تدقیق ضریب مذکور، با در اختیار داشتن آمار دبی سیلاب‌ها، حدود مقدار C بر اساس دوره بازگشت‌های مختلف تعیین گشته و در سایر حوضه‌های فاقد آمار به کار گرفته شود. در رابطه با کارآیی روش‌های تجربی برخی از محققین مطالعات متعددی را به انجام رسانده‌اند که به برخی از آن‌ها اشاره می‌گردد.

مهدوی و همکاران (۱۳۸۳: ۴۰۹) و جمالی و همکاران (۲۰۰۶)، مقدار دبی حداکثر لحظه‌ای با دوره بازگشتهای ۲ تا ۱۰۰ سال را با استفاده از ده فرمول تجربی برآورده دبی حداکثر، در حوضه‌های آبریز اصلی ایران بدست آورده‌اند. بر اساس نتایج این تحقیق، مدل تجربی مورفی^۱ برای دوره بازگشت‌های کم و مدل تجربی کرامر^۲ برای دوره بازگشت‌های زیاد، در حوضه ایران مرکزی مناسب بوده ولی مدل کریگر در برآورده دبی‌های حداکثر لحظه‌ای با دوره بازگشت‌های زیاد نامناسب می‌باشد. در تحقیق دیگری توسط یزدانی و همکاران (۱۳۸۵: ۳۵۳)، به منظور برآورده دبی حداکثر در حوضه‌های آبریز کوچک، دو روش مبتنی بر سطح و خصوصیات فیزیوگرافی و بارش حوضه مورد بررسی قرار گرفت. نتایج حاصل نشان داد که در بین روش‌های مبتنی بر سطح، روش کریگر در مناطق با بارش کمتر کارآیی بیشتری دارد.

در تحقیق سیدعلی و همکاران (۱۳۸۸: ۴)، دامنه تغییرات ضریب کریگر در حوضه‌های استان یزد بررسی شد که بر اساس نتایج آن مقدار این ضریب بین ۰/۰۱۴ تا ۰/۹۵ در نوسان بوده است. همچنین زارع و همکاران (۱۳۸۸: ۵)، با استفاده از روابط تجربی فولر^۳، کریگر، دیکن^۴، علی‌ناواز^۵ و رایوس^۶، دبی حداکثربا دوره بازگشتهای مختلف را در حوضه آبریز تول‌بنه گرگان برآورده کردند. نتایج آنها نشان داد روش کریگر، مقدار دبی حداکثر را بیشتر از مقدار واقعی برآورده کرده و در حوضه‌های آبریز کوچک دارای بیشترین خطایمی باشد. همچنین در تحقیقی که توسط وفاخواه و ایزانلو (۱۳۸۸: ۱۱)، جهت برآورده دبی حداکثر سیلاب صورت گرفت، فرمول‌های تجربی کریگر، دیکن و فانینگ در حوضه آبریز کوشک‌آباد خراسان رضوی مقایسه گردید که بر اساس نتایج رابطه کریگر دارای کمترین مجازور میانگین مربعات خطأ بوده است.

1 Morphy

2 Kramer

3 Fuller

4 Dicken

5 Ali Nawaz

6 Ryves

بیوندیک^۱ و همکاران (۲۰۰۲، a و b)، با استفاده از منحنی‌های کریگر و فرانکو-رودیه^۲، مقدار دبی حداکثر رودخانه دانوب رادر کراواسی برآورد کردند. بر اساس نتایج، مقادیر دبی حداکثر برآورده با دوره بازگشت‌های مختلف، با استفاده از روش کریگر بیشتر از روش فرانکو-رودیه در حوضه‌های آبریز کوچک و بزرگ در منطقه بوده است. همچنین در تحقیق انجام یافته توسط هینکس و ددجا^۳ (۹:۲۰۰۲)، در بررسی ۵ سد خاکی در بریتانیا، میانگین ضریب کریگر برابر ۳۶ بیان شد و مقدار آن با دوره بازگشت‌های ۵۰۰ تا ۱۰۰۰۰ ساله، بین ۱۳/۵ تا ۲۵ برای منطقه پیشنهاد گردید.

در کشور ژاپن، اونیشی^۴ و همکاران (۲۰۰۴)، دبی حداکثر لحظه‌ای را در مساحت‌های حداکثر تا یک کیلومترمربع با استفاده از فرمول کریگر برآورد کردند، ولی در مساحت‌های بیشتر، تا حداکثر ۱۱۷۸ کیلومترمربع، نشان دادند این فرمول کارایی چندانی در برآورد دبی حداکثر لحظه‌ای ندارد. همچنین کرکوتی و همکاران (۱۰۷:۱۳۸۹)، در برآورد سیلاب به روش‌های مشاهده‌ای، کریگر و SCS در رودخانه فرمسو در کرمانشاه به این نتیجه رسیدند که در ایستگاه دوآب قزانچی، مقدار ضریب کریگر با دوره بازگشت ۲ و ۱۰۰ به ترتیب برابر با ۰/۸۸ و ۱۱/۰۱ بوده است.

در این تحقیق سعی شده است تا ابتدا از بین حدود ۸۰ توزیع آماری پیوسته، با انجام آنالیز فراوانی سیلاب مناسب‌ترین توزیع آماری انتخاب و دبی‌های حداکثر سیل با دوره بازگشت‌های مختلف برآورد گردد. سپس به بررسی و واسنجی ضریب منطقه‌ای مدل کریگر در حوضه ایران مرکزی پرداخته و با اضافه نمودن دوره بازگشت‌های مختلف به این ضریب کارایی و دقت آن افزایش یابد.

۲. منطقه مورد مطالعه

حوضه ایران مرکزی با مساحت ۸۲۳۹۴۶ کیلومترمربع در ناحیه خشک و نیمه‌خشک کشور، حدود ۵۰/۷۵ درصد مساحت کشور را شامل می‌شود (شکل ۱). این حوضه از لحاظ بارش شرایط مطلوبی نداشته و سیلاب‌های آنی و کوتاه-مدت از جمله ویژگی‌های آن می‌باشد. این در حالی است که تعداد کمی از ایستگاه‌های هیدرومتری موجود در این حوضه دارای آمار بلندمدت می‌باشد. این ایستگاه‌ها دارای پراکنش غیریکنواخت بوده بهطوریکه اکثر آن‌ها در ناحیه نیمه خشک قرار گرفته و تعداد کمی از آنها در ناحیه خشک و فراخشک واقع گردیده‌اند. بنابراین تنوع زیاد اقلیمی و جغرافیایی منجر به عدم تشکیل حوضه‌های همگن در این منطقه گردیده است (حیات‌زاده، ۱۳۸۷:۱۲۲).

۳. مواد و روش‌ها

در این تحقیق انتخاب ایستگاه‌های مناسب طی گام‌های مختلفی صورت گرفته است. بدین ترتیب که ابتدا مشخصات مربوط به ایستگاه‌های هیدرومتری و سدهای مخزنی واقع در منطقه اخذ شده که برخی ایستگاه‌ها به دلیل جدیدالاحداث

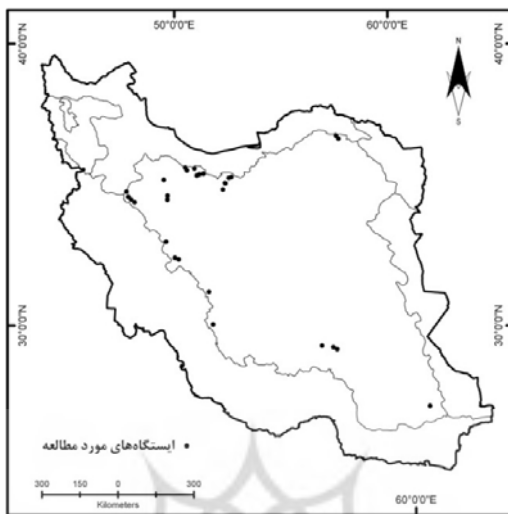
1 Bionic

2 Francou-Rodier

3 Hinks and Dedja

4 Ohnishi

بودن و نداشتن آمار کافی و برخی به علت تعطیلی و نداشتن آمار جدید از لیست مورد بررسی حذف گردیدند. همانگونه که ذکر گردید با توجه به عدم پراکنش یکنواخت ایستگاه‌ها در حوضه ایران مرکزی و در نتیجه عدم تشکیل حوضه‌های همگن، ارزیابی‌ها به صورت نقطه‌ای و منفرد (ایستگاهی)، صورت گرفت.



شکل ۱ پراکنش ایستگاه‌های مورد مطالعه در حوضه ایران مرکزی

در مرحله بعد، با بررسی بانک اطلاعات سدهای مخزنی و بندهای انحرافی ایران و به کمک نرم‌افزار گوگل ارث و سیستم اطلاعات جغرافیایی، موقعیت مکانی ایستگاه‌ها، سدها و بندهای انحرافی، تعیین گردید و سپس ایستگاه‌های هیدرومتری که در حوضه بالادست آن‌ها سدهای مخزنی و بند انحرافی وجود داشت، به‌دلیل برهم خوردن رژیم اصلی رودخانه و تعدیل شدن دبی حداکثر در آنها حذف گردیدند.

در ادامه ایستگاه‌های دارای دوره آماری کوتاه‌مدت و نقص زیاد در داده‌های دبی حداکثر لحظه‌ای نیز حذف شده و سایر ایستگاه‌های با طول آمار بیشتر از ۲۵ سال، در پایه زمانی ۱۳۴۴-۹۰، به عنوان ایستگاه‌های مورد مطالعه به مرحله بعدی راه یافتند. سپس با انجام آزمون داده‌های پرت، با استفاده از روش گروبز-بک و آزمون کفایت داده‌های ماکوس، صحت و قابلیت اعتماد نسبی داده‌های ثبت شده مورد ارزیابی قرار گرفت و بنابراین تعداد ۲۹ ایستگاه هیدرومتری انتخاب گردید (شکل ۱). در جدول (۱) مشخصات ایستگاه‌های منتخب ذکر شده است.

سپس جهت رفع نواقص آماری ۲۹ ایستگاه منتخب، ابتدا همبستگی بین دبی حداکثر و سایر پارامترهای اندازه‌گیری شده در ایستگاه‌های هیدرومتری (شامل: دبی حداکثر سالانه، دبی متوسط ماهانه و سالانه و همچنین دبی حداکثر روزی که حداکثر سیلان در آن واقع گردیده)، با ایجاد رابطه رگرسیونی سنجیده شد که با تعیین بیشترین همبستگی بین دبی حداکثر سیلان در آن واقع گردیده، با ایجاد رابطه رگرسیونی سنجیده شد که با تعیین بیشترین همبستگی بین دبی حداکثر لحظه‌ای به عنوان متغیر وابسته و دبی حداکثر سالانه به عنوان متغیر مستقل در هر ایستگاه، اقدام به بازسازی و رفع نواقص آماری دبی حداکثر، با روش عصبی-فازی گردید. (جایدری و همکاران، ۱۳۹۱: ۳۸۷).

به منظور تحلیل فراوانی سیل استفاده از توزیع‌های آماری جهت پردازش و برآورد دبی حداکثر با دوره بازگشت‌های مختلف، از روش‌های متدالوی محسوب می‌گردد (هادیان و همکاران، ۱۳۸۹). بدین منظور برای تجزیه و تحلیل فراوانی وقوع دبی حداکثر، آمار تک تک ایستگاه‌ها با استفاده از نرم‌افزار Easyfit و Mathematica در بیش از ۸۰ توزیع مختلف آماری پیوسته برازش داده شد و با استفاده از روش بیشنه درست نمایی و روش گشتاور مناسب ترین توزیع آماری انتخاب گردید.

جدول ۱ مشخصات ایستگاه‌های هیدرومتری منتخب در حوضه ایران مرکزی (تمام، ۱۳۸۹)

| ایستگاه | سرابهنده | اسکندری | جله‌رود | بنکوه | عمرآباد | حاجی‌عرب | اسفرجان | ده‌صومعه |
|--------------------------|----------|---------|-----------|----------|-----------|----------|---------|----------|
| ارتفاع (m) | ۱۹۸۰ | ۲۱۳۰ | ۱۹۲۴ | ۱۰۴۰ | ۱۵۷۰ | ۱۱۹۷ | ۲۳۰۴ | ۱۴۳۸ |
| دوره آماری | ۲۴ | ۲۸ | ۳۴ | ۳۳ | ۳۴ | ۳۱ | ۲۵ | ۳۵ |
| مساحت (Km ²) | ۸۵۲ | ۱۵۷۸ | ۱۹۱۰ | ۳۲۰۹ | ۱۵۷۰ | ۱۱۹۷ | ۲۷۳ | ۳۶۰ |
| ایستگاه | سولان | رازان | درکه | یالقان | جمربیز | دامن | چرقوتو | سولان |
| ارتفاع (m) | ۱۴۳۰ | ۱۲۹۰ | ۱۸۳۳ | ۱۹۸۰ | ۱۷۹۶ | ۶۵۱ | ۲۶۲۸ | ۱۹۷۹ |
| دوره آماری | ۲۹ | ۳۵ | ۲۸ | ۳۲ | ۳۶ | ۴۱ | ۴۳ | ۳۳ |
| مساحت (Km ²) | ۲۰۰ | ۱۷۱۰ | ۱۸۳۳ | ۱۶۵ | ۳۳۹۰ | ۳۷۷۰ | ۲۲۴ | ۳۷۰۰ |
| ایستگاه | دریند | نمرود | مندرجان | گلزارزار | سیپرا | عراقی | رودک | دلچایی |
| ارتفاع (m) | ۱۷۹۳ | ۱۸۱۴ | ۲۱۰۷ | ۱۱۴۴ | ۱۸۳۱ | ۱۳۹۲ | ۱۷۱۴ | ۱۴۵۸ |
| دوره آماری | ۳۱ | ۳۹ | ۲۹ | ۳۲ | ۴۳ | ۳۳ | ۴۲ | ۳۰ |
| مساحت (Km ²) | ۳۴ | ۵۸۷ | ۲۲۹ | ۱۱۴۴ | ۷۱۶ | ۲۰۱ | ۴۱۶ | ۳۴۴ |
| ایستگاه | اسفراین | جلایر | سیمین دشت | قریه‌عرب | صالح‌آباد | آباد | ۲۴۱۴ | ۱۷۷۰ |
| ارتفاع (m) | ۹۸۱ | ۱۱۷۵ | ۱۴۷۲ | ۲۴۱۴ | ۲۴۱۴ | ۳۱ | ۳۵۸ | ۱۸۰ |
| دوره آماری | ۳۱ | ۳۳ | ۳۸ | ۳۱ | ۳۳ | ۳۱ | ۳۵۸ | ۳۳ |
| مساحت (Km ²) | ۵۱۵ | ۱۱۷۵ | ۲۲۵۶ | ۲۲۵۶ | ۲۲۵۶ | ۵۰ | ۲۰ | ۲۵ |

در گام آخر پس از تعیین دبی حداکثر در هر ایستگاه، مقادیر دبی‌های تعیین شده با دوره بازگشت‌های مختلف را در رابطه کریگر قرار داده و با توجه به معلوم بودن مقدار پارامتر مساحت حوضه مربوطه به هر ایستگاه، در نهایت ضریب منطقه‌ای فرمول کریگر با دوره بازگشت‌های ۲، ۵، ۱۰، ۲۰، ۲۵ و ۵۰ ساله تعیین گردید.

معیارهای برازش نکویی

در این تحقیق جهت بررسی عملکرد روش‌های مختلف بازسازی در هر ایستگاه، از مجازور میانگین خطای مربعات (RMSE)، ضریب همبستگی (R^2)، میانگین خطای مطلق (MAE)^۱، جهت تعیین بهترین توزیع آماری از آزمون

۱ Mean Absolute Error (MAE)

کای اسکوئر (X^2) و همچنین جهت اعتبارسنجی مدل کریگر از میانگین مطلق درصد خطأ (MAPE)^۱ و ضریب ناش- ساتکلیف (ENS^۲) استفاده گردید (یانگ^۳ و همکاران، ۲۰۰۹) و (اخوان و همکاران، ۱۳۸۹).

$$\text{RMSE} = \left[\frac{\sum (X_o - X_e)^2}{n} \right]^{1/2} \quad (2)$$

$$R = \frac{\sum ((X_e - \bar{X}_e)(X_o - \bar{X}_o))}{\sqrt{\sum (X_e - \bar{X}_e)^2 \sum (X_o - \bar{X}_o)^2}} \quad (3)$$

$$\text{MAE} = \frac{\sum_{i=1}^n |(X_e) \times (X_o)|}{n} \quad (4)$$

$$X^2 = \sum_{i=1}^k \frac{(X_o - X_e)^2}{X} \quad (5)$$

$$\text{MAPE} = \frac{100}{n} \sum_{i=1}^n \left| \frac{X_o - X_e}{X_o} \right| \quad (6)$$

$$E_{NS} = 1 - \frac{\sum_{i=1}^n (X_o - X_e)^2}{\sum_{i=1}^n (X_o - \bar{X}_o)^2} \quad (7)$$

که در روابط فوق: X_o و X_e به ترتیب دبی حداکثر مشاهداتی و برآورده، \bar{X}_o و \bar{X}_e به ترتیب میانگین دبی حداکثر مشاهداتی و برآورده و n تعداد داده‌ها است.

همچنین با استفاده از مقادیر RMSE، در ارزیابی روش‌های مختلف بازسازی، بهبود نسبی (RI^۴) روش فازی عصبی هر روش نسبت به سایر روش‌ها بدست آمد (امینی و همکاران، ۲۰۰۵). بدین وسیله کارایی روش فازی عصبی سنجیده شده است (معادله ۸).

$$RI_{ANFIS} = \frac{(RMSE_{REG \text{ or } ANN} - RMSE_{ANFIS})}{RMSE_{REG \text{ or } ANN}} \quad (8)$$

۴. بحث و نتایج

در بررسی شرط کفايت داده‌ها با توجه به متفاوت بودن تعداد سال‌های آماری موجود در هر ایستگاه، میزان سطوح اعتماد نیز، متفاوت بود. لذا با توجه به این تفاوت، از میزان اعتماد در کل ایستگاه‌ها میانگین‌گیری به عمل آمد، که در مجموع در سطح کل منطقه، مقدار کفايت داده‌ها حدود ۷۴/۰۸ درصد تعیین گردید. با توجه به فرمول گروبر-بک^۵، داده‌های دبی حداکثر لحظه‌ای در ایستگاه‌های سولقان، تنگ‌اسفرجان و دلیچای هر کدام دارای یک عدد داده پرت بالا

1 Mean Absolute Percentage Error (MAPE)

2 Efficiency Coefficient Nash- Sutcliffe (ENS)

3 Yang

4 Relative Improvement

5 Grubbs-Beck

بودند. بنابراین بررسی داده‌های تاریخی در آن‌ها، از روی آمار نزدیک‌ترین ایستگاه‌های همچوار صورت گرفت و با توجه به افزایش مقدار دبی حداکثر لحظه‌ای در ایستگاه‌های شاخص یا همچوار، عدم وجود داده پرت بالا در این ایستگاه‌ها محزز گردید. همچنین هر یک از ایستگاه‌های حاجی عرب و عمرآباد، دارای یک داده پرت پایین (کمتر از آستانه پایین) بوده که از لیست آمار موجود حذف گردیده و با استفاده از روش‌های بازسازی، مجددًا برآورد گردیدند. در بازسازی نواقص آماری، در تمام ایستگاه‌ها روش عصبی‌فازی دارای کمترین خطأ و الگوریتم ژنتیک دارای بیشترین خطأ در برآورد دبی حداکثر لحظه‌ای بود. لیکن با استفاده از آزمون T در سطح ۵ درصد تفاوت معنی‌داری بین این روش‌ها وجود نداشت. بنابراین برای ارزیابی آن‌ها از شاخص RI استفاده گردید، که بر اساس نتایج آن بطور متوسط روش عصبی‌فازی نسبت به شبکه‌عصبی و رگرسیون به ترتیب ۳۹/۹ و ۳۹ درصد بهبود داشته است (جدول ۳).

تحلیل خروجی‌های حاصل از نرم‌افزارهای EasyFit و Mathematica، نشان داد که ایستگاه‌های موجود در ۱۷ توزیع آماری مختلف بهترین برآش را داشته و بنابراین بر اساس توزیع منتخب در هر ایستگاه، دبی حداکثر لحظه‌ای با دوره بازگشت‌های ۲، ۵، ۱۰، ۲۵ و ۵۰ سال، برآورد گردید و با توجه به مشخص بودن مساحت هر ایستگاه، اقدام به برآورد ضریب منطقه‌ای کریگر متناظر با دوره بازگشت‌های مذکور گردید (جدول ۴).

در ادامه به‌منظور پنهان‌بندی ضریب کریگر در زیر حوضه‌های ایران مرکزی اقدام به دسته‌بندی این ارقام در ایستگاه‌های مورد مطالعه گردید که نتایج آن در جدول (۵) ذکر گردیده است. همچنین در شکل (۲)، رابطه ضریب منطقه‌ای فرمول کریگر و مساحت ایستگاه‌های مطالعاتی با دوره بازگشت‌های مورد مطالعه ترسیم گردیده است.

جدول ۲ میزان بهبود نسبی روش عصبی‌فازی نسبت به روش‌های شبکه‌عصبی (ANN) و رگرسیون (REG) بر حسب درصد

| ایستگاه | REG | ANN | ایستگاه | REG | ANN |
|---------|--------|-------|------------|-------|-------|
| عراقی | ۵۲/۱۲۶ | ۳۷۰۳ | گلزارزار | ۶۲/۷۶ | ۱۵/۴۳ |
| چمریز | ۴۹/۲۲ | ۹۷/۵۲ | مندرجان | ۹۰/۰۳ | ۷۱/۶۳ |
| دامن | ۱۵/۹۴ | ۲۶۷۱ | دلچاهی | ۸/۴۱ | ۲۳/۸۳ |
| عمرآباد | ۱۶۳۳ | ۴۳/۵۳ | یالقان | ۳/۹۴ | ۱/۴۶ |
| دریند | ۷/۱۷ | ۲۲/۶۹ | سراب‌هنده | ۲۴/۶۰ | ۳۹/۷۴ |
| بنکوه | ۱۸/۲۶ | ۱۷/۸۲ | صالح‌آباد | ۱۷/۷۸ | ۴۹/۷۲ |
| نمرود | ۶۵/۸۲ | ۴۳/۴۸ | حاجی‌عرب | ۳۲/۶۰ | ۲۸/۹۸ |
| رازین | ۵۲/۳۳ | ۴۵/۶۵ | حبله رود | ۸/۳۱ | ۱۲/۸۳ |
| سولان | ۴۰/۷۴ | ۱۸/۱۷ | اسکندری | ۳۷/۰۶ | ۵۳/۹۱ |
| سیپرا | ۴۲/۳۳ | ۳۳/۲۲ | جیرفت | ۳۹/۶۴ | ۶۳/۸۳ |
| رودک | ۴۰/۴۲ | ۳۹/۱۶ | ده‌صومعه | ۱/۱۷ | ۳۹/۵۸ |
| درکه | ۵۰/۳۳ | ۵۱/۴۶ | اسفرجان | ۷۷/۸۱ | ۷۰/۸۴ |
| اسفراین | ۳۴/۶۴ | ۳۳/۸۱ | قریه‌العرب | ۸۲/۷۲ | ۷۸/۴۸ |
| جلایر | ۶۹/۳۵ | ۴۸/۴۸ | سیمین‌دشت | ۱۸/۸۷ | ۱۶/۰۰ |
| سولقان | ۷۰/۹۴ | ۳۷/۸۵ | | | |

لازم به ذکر است کاربرد دیگر روش کریگر در موقعي است که دبی حداکثر سیلان در یک ایستگاه اندازه گيري و به حوضه‌اي فرعی و يا بزرگتر، تعميم مي‌يابد. در اين حالت فرض بر اين است که مقدار ضریب منطقه‌اي در دو حوضه مينا و فاقد آمار برابر بوده و در نتيجه با معلوم بودن مقدار دبی حداکثر در حوضه مينا (Q_1) و همچنين با مشخص بودن پaramتر مساحت در هر دو حوضه (A_1 و A_2), می‌توان مقدار دبی حداکثر را در حوضه دوم (Q_2), محاسبه کرد

(مهدوی، ۱۳۸۶: ۱۶۸) (رابطه ۹).

$$\frac{Q_1}{Q_2} = \frac{A_1^{(0.894 - 0.048)}}{A_2^{(0.894 - 0.048)}} \quad (9)$$

نتایج نسبت ضریب منطقه‌اي فرمول کریگر در ایستگاه‌های هم‌جوار منطقه در جدول (۶)، ذکر گردیده است.

اعتبارسنجی ضرایب

با استفاده از ۲۰ درصد مجموع کل داده‌های دبی حداکثر هر ایستگاه، که از همان بدو کار به عنوان داده‌های مشاهداتی، تفکیک گردیده بود، ضرایب کریگر با دوره بازگشت‌های ۵ و ۱۰ ساله، با استفاده از رابطه ویبول، استخراج گردید. سپس اعتبارسنجی ضریب کریگر در ایستگاه‌های مطالعاتی با استفاده از ضریب نش-ساتکلیف (E_{NS}) و آماره میانگین مطلق درصد خطأ، در هر ایستگاه انجام شد که نتایج آن در جدول (۷)، ذکر گردیده است.

ضریب نش-ساتکلیف، اختلاف نسبی مقادیر مشاهده‌ای و شبیه‌سازی شده را نشان می‌دهد و مقدار این فاکتور بین یک تا منفی بی‌نهایت تغییر می‌کند که مقدار بیشتر از ۵/۰ این فاکتور نشان‌دهنده اعتبار بالای مدل می‌باشد (اخوان و همکاران، ۱۳۸۹).

بر اساس نتایج جدول (۴)، مقدار ضریب منطقه‌اي فرمول کریگر در حوضه ایران مرکزی ارقام بسیار پائینی را به خود اختصاص می‌دهد. به نحوی که با دوره بازگشت ۵۰ سال، بیشترین مقدار این ضریب، برابر با ۱۵/۰۸ در ایستگاه دامن، واقع در زیر حوضه جازموریان، در جنوب شرقی حوضه ایران مرکزی و کمترین مقدار آن حدود ۰/۳۴ در ایستگاه سولان واقع در زیر حوضه دریاچه نمک، در شمال غرب حوضه ایران مرکزی می‌باشد. بر اساس نتایج جدول (۷)، تعميم دبی حداکثر به سایر ایستگاه‌های هم‌جوار فقط بر اساس پaramتر مساحت، از جمله موارد ایجاد خطای فاحش در برآورد دبی‌های سیلانی حوضه‌های فاقد آمار می‌باشد. به عنوان نمونه چنانچه در جدول (۷) مشاهده گردید، علی‌رغم هم‌جواری دو ایستگاه جیرفت و قریه‌العرب، ضریب منطقه‌اي ایستگاه جیرفت با دوره بازگشت ۲ سال، ۳/۴۲ برابر ضریب مذبور در ایستگاه عمرآباد می‌باشد.

جدول ۳ ارقام کای اسکوئر و P-Value مربوط به توزیع‌های منتخب ایستگاه‌های مطالعاتی*

| P-Value | کای اسکوئر | توزیع | ایستگاه | P-Value | کای اسکوئر | توزیع | ایستگاه |
|---------|------------|---------|---------|---------|------------|---------|-----------|
| ۰/۹۲۷۸ | ۰/۱۴۹۶ | Fr | سیرا | ۰/۹۳۲۱ | ۰/۱۴۴ | G | سراب هندہ |
| ۰/۸۰۳۸ | ۰/۴۳۳۷ | Cau | سولقان | ۰/۸۹۵۷ | ۰/۲۲۰۱ | W | یالقان |
| ۰/۹۹۲۶ | ۰/۰۹۳ | P | رودک | ۰/۸۶۸۴ | ۰/۲۸۲۱ | P | سولان |
| ۰/۹۹۵۱ | ۰/۰۰۹۷ | Gen.G | درکه | ۰/۹۴۸۷ | ۰/۱۰۵۲ | Cau | صالح آباد |
| ۰/۸ | ۰/۲۵۴۶ | Kum | اسکندری | ۰/۹۸۵۶ | ۰/۰۲۸۸ | Cau | عمرا آباد |
| ۰/۲۷۳۰ | ۲/۵۹ | Cau | اسفرجان | ۰/۹۹۰۵ | ۰/۰۰۰۱ | Fr | جلایر |
| ۰/۷۲۸۳ | ۰/۹۲۹۲ | LN | مندرجان | ۰/۸۴ | ۰/۰۴۰۷ | Fr | رازین |
| ۰/۹۷۳۷ | ۰/۰۵۳۲ | Expo | چمریز | ۰/۹۶۲۱ | ۰/۰۷۷۲ | Expo | حاجی عرب |
| ۰/۸۱۶۳ | ۰/۹۳۷۶ | Gen.Ev | دامن | ۰/۹۷۸۷ | ۰/۱۹۲۹ | W | دربند |
| ۰/۶۶۱۳ | ۱/۰۹۱۳ | Gen.Par | جیرفتون | ۰/۹۸۸۵ | ۰/۰۰۰۲ | P | د صومعه |
| ۰/۱۳۹۹ | ۳/۹۳ | Cau | قریه | ۰/۹۰۳۶ | ۰/۰۱۴۶ | Fr | گدارزار |
| ۰/۸۱۳۰ | ۰/۹۵۱۱ | Gen.Par | نمروذ | ۰/۹۲۸۳ | ۰/۱۴۸۶ | Expo | حبله رود |
| ۰/۹۱۲۹ | ۰/۱۸۲۱ | Cau | سیمین | ۰/۹۵۸۰ | ۰/۰۰۰۲ | Fr | اسفراین |
| ۰/۹۴۷۶ | ۰/۰۰۰۴ | P | دلیچای | ۰/۹۳۷۶ | ۰/۰۰۰۶ | Gen.Par | عراقی |
| | | | | ۰/۸۴۲۰ | ۰/۳۴۳۷ | Expo | بنکوه |

* علائم اختصاری توزیع‌های آماری به کار رفته در جدول شماره ۳: Par: پارتون، GenPar: پارتون تعیین یافته، Fr: فریچت، GenEv: حد تعیین یافته، InvGauss: معکوس گوسین، Gumb: گمبل، LP: لوگ پیرسون نوع سوم، G: گاما، Expo: نمایی، N: نرمال، GenG: گاما تعیین یافته، W: ویبول، Cau: کوشی، LN: لوگ نرمال و Ray: ریلینگ و Kum: کومارسی است.

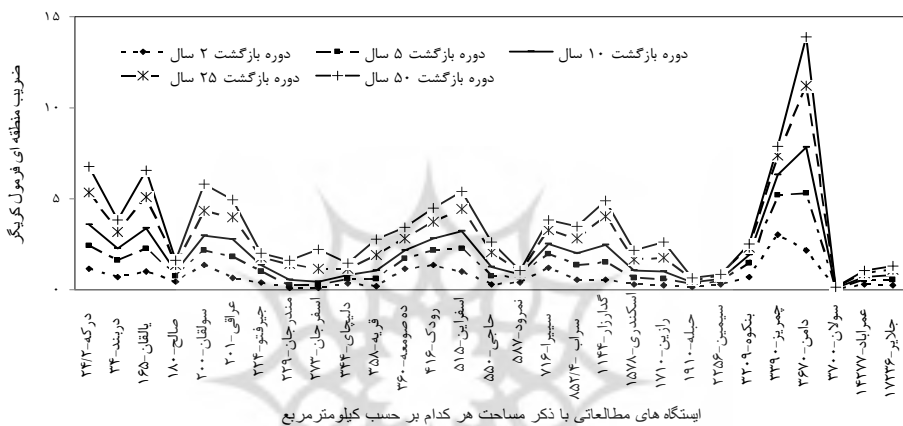
جدول ۴ توزیع منتخب، دبی حداقل و ضریب کریگر در برخی ایستگاه‌های مطالعاتی*

| عراقی | قریه | دامن | سراب | یالقان | سولان | صالح | عمرا آباد | ایستگاه |
|--------|--------|--------|--------|--------|-------|-------|-----------|-----------------------|
| GenPar | Cau | GenEv | G | W | P | Cau | Cau | |
| ۱۴/۸ | ۵/۷۹ | ۳۶۴/۲۷ | ۳۷/۸۸ | ۲۶/۲۶ | ۴/۹۴ | ۱۳/۳۲ | ۷۰/۹۲ | Q (m ³ /s) |
| ۴۴/۵۲ | ۱۰/۴۹ | ۷۲۵/۳۴ | ۹۷/۱۹ | ۶۱/۹۸ | ۱۰/۴۶ | ۲۰/۲۶ | ۱۱۲/۳۱ | |
| ۷۳/۲ | ۲۷/۴۹ | ۱۰۳۲ | ۱۴۳/۸ | ۹۲/۲۳ | ۱۶۷۶ | ۲۸/۸۴ | ۱۶۳/۴۶ | |
| ۱۲۱/۷ | ۶۱/۰۹ | ۱۵۰۰ | ۲۰۶/۶۱ | ۱۳۵/۱۷ | ۲۹/۳ | ۵۳/۲۴ | ۳۰۸/۹۲ | |
| ۱۶۸/۵۱ | ۱۱۷/۸۳ | ۱۹۱۵ | ۲۵۴/۶۲ | ۱۶۹/۴۲ | ۹۳/۴۸ | ۹۳/۴۸ | ۵۴۸/۸۱ | |
| ۰/۴۸ | ۰/۱۳ | ۲/۸۷ | ۰/۰۷ | ۰/۹۶ | ۰/۰۳ | ۰/۴۶ | ۰/۳۳ | |

| ۱/۴۵ | ۰/۳۶ | ۵/۷۱ | ۱/۴۷ | ۲/۲۷ | ۰/۰۸۲ | ۰/۷۰۵ | ۰/۰۲ | ۵ | |
|--------|--------|---------|---------|----------|---------|---------|--------|----|----------|
| ۲/۳۹ | ۰/۶۵ | ۸/۱۳ | ۲/۱۸ | ۳/۳۷ | ۰/۱۳ | ۱/۰۰۴ | ۰/۷۷ | ۱۰ | |
| ۳/۹۷ | ۱/۴۵ | ۱۱/۸۱ | ۳/۱۳ | ۴/۹۵ | ۰/۲۳ | ۱/۸۵ | ۱/۴۵ | ۲۵ | |
| ۵/۵۰ | ۲/۷۹ | ۱۵/۰۸ | ۳/۸۶ | ۷۲ | ۰/۳۴ | ۳/۲۵ | ۲/۵۸ | ۵۰ | |
| بنکوه | جلابر | اسفراین | گدارزار | حبله رود | نمرود | سیمین | دلیچای | | ایستگاه |
| Expo | Fr | Fr | Fr | Expo | GenPar | Cau | P | | |
| ۸۱/۰۸ | ۵۵/۰۵ | ۳۷/۱۸ | ۴۵/۳۸ | ۱۰/۳۶ | ۱۹/۸۶ | ۳۳/۸۸ | ۱۴/۱۴ | ۲ | Q (m³/s) |
| ۱۸۸۳ | ۱۱۹/۱۹ | ۸۵/۸۵ | ۱۰۷/۸ | ۲۴/۰۷ | ۳۲/۵ | ۴۷/۹۶ | ۲۴/۳۸ | ۵ | |
| ۲۶۹/۳۶ | ۱۸۳/۲ | ۱۴۰/۰۲ | ۱۸۱/۴ | ۳۴/۴۳ | ۳۸/۶ | ۶۵/۳۷ | ۳۳/۷۲ | ۱۰ | |
| ۳۷۷/۵۶ | ۳۰۱/۲۴ | ۲۵۳/۲۳ | ۳۴۰/۳ | ۴۸/۱۴ | ۴۳/۸ | ۱۱۴/۸۸ | ۴۷/۳۷ | ۲۵ | |
| ۴۵۷/۶۴ | ۴۲۶/۹۶ | ۳۸۶/۵۴ | ۵۳۶/۶۴ | ۵۸/۵۱ | ۴۶۷/۳۱ | ۳۵۹/۴۹ | ۶۴/۰۲ | ۵۰ | |
| ۰/۷۷ | ۰/۲۴ | ۰/۷۲ | ۰/۰۹ | ۰/۱۰۷ | ۰/۳۶ | ۰/۳۲ | ۰/۳۴ | ۲ | |
| ۱/۵۶ | ۰/۰۲ | ۱/۶۷ | ۱/۴۲ | ۰/۲۵ | ۰/۰۹ | ۰/۴۶ | ۰/۰۹ | ۵ | |
| ۲/۲۴ | ۰/۸۰ | ۲/۷۴ | ۲/۳۹ | ۰/۳۵ | ۰/۷۰ | ۰/۶۳ | ۰/۸۱ | ۱۰ | |
| ۳/۱۳ | ۱/۳۳ | ۴/۹۵ | ۴/۴۸ | ۰/۵۰ | ۰/۸۰ | ۱/۱۱ | ۱/۱۹ | ۲۵ | |
| ۳/۸۱ | ۱/۸۸ | ۷/۵۵ | ۷/۰۷ | ۰/۶۰ | ۰/۸۴ | ۳/۴۸ | ۱/۰۶ | ۵۰ | |
| حاجی | رازین | جیرفتون | درکه | اسکندری | اسفرجان | مندرجان | چمریز | | ایستگاه |
| Expo | Fr | GenPar | GenG | Kum | Cau | LN | Expo | | |
| ۱۷/۲۸ | ۲۲/۰۷ | ۱۵/۲۵ | ۱۰/۶۹ | ۲۷/۵۷ | ۲/۱۵ | ۲/۰۷ | ۲۸۰/۱ | ۲ | Q (m³/s) |
| ۴۰/۱۴ | ۵۵/۸۷ | ۳۴/۰۳ | ۲۱/۴۸ | ۸۱/۵۲ | ۴/۰۸ | ۷۹۹ | ۶۵۰/۳۷ | ۵ | |
| ۵۷/۴۲ | ۱۰۳/۳۴ | ۴۶/۹۶ | ۲۹/۱۲ | ۱۲۰/۷۱ | ۷/۰۹ | ۱۳/۱۹ | ۹۳۰/۴۷ | ۱۰ | |
| ۸۰/۲۸ | ۲۲۴/۷۲ | ۶۰/۹۸ | ۳۸/۸۹ | ۱۶۲/۱۵ | ۱۶۱۳ | ۲۵/۹۵ | ۱۳۰۰/۷ | ۲۵ | |
| ۹۷/۵۶ | ۳۹۹/۸۷ | ۷۰/۰۲ | ۴۶/۱۱ | ۱۸۵/۴۲ | ۳۰/۲۳ | ۴۰/۱۸ | ۱۵۸۰/۸ | ۵۰ | |
| ۰/۳۲ | ۰/۲۴ | ۰/۴۶ | ۱/۳۶ | ۰/۳۱ | ۰/۰۵ | ۰/۰۶ | ۲/۲۸ | ۲ | |
| ۰/۷۵ | ۰/۶۱ | ۱/۰۶ | ۲/۷۴ | ۰/۹۲ | ۰/۱۲ | ۰/۲۱ | ۵/۲۹ | ۵ | |
| ۱/۰۸ | ۱/۱۳ | ۱/۴۴ | ۳/۷۱ | ۱/۳۷ | ۰/۲۰ | ۰/۴۰ | ۷/۰۷ | ۱۰ | |
| ۱/۵۱ | ۲/۴۶ | ۱/۸۷ | ۴/۹۶ | ۱/۸۴ | ۰/۴۴ | ۰/۷۸ | ۱۰/۰۹ | ۲۵ | |
| ۱/۸۴ | ۴/۳۷ | ۲/۱۵ | ۵/۸۸ | ۲/۱۰ | ۰/۰۳ | ۱/۲۱ | ۱۲/۸۷ | ۵۰ | |

جدول ۵ ضریب کریگر برای سیلاب‌های با دوره بازگشت مختلف در زیرحوضه‌های ایران مرکزی

| دامنه تغییرات ضریب کریگر | | | | | تعداد ایستگاهها | زیر حوضه |
|--------------------------|-----------|-----------|-----------|-----------|-----------------|-------------|
| ۵۰ | ۲۵ | ۱۰ | ۵ | ۲ | | |
| ۱۵/۰۸ | ۱۱/۸۱ | ۸/۱۳ | ۰/۷۱ | ۲/۸۷ | ۱ | جازموریان |
| ۰/۸۳-۲/۱ | ۰/۴۴-۱/۸۴ | ۰/۲۰-۱/۳۷ | ۰/۱۲-۰/۹۲ | ۰/۰۳-۰/۰۵ | ۳ | گاوخرنی |
| ۲/۱-۷/۰۷ | ۱/۴۵-۴/۴۸ | ۰/۶۵-۲/۳۹ | ۰/۳۳-۱/۴۲ | ۰/۱۳-۰/۰۹ | ۳ | یزد - کرمان |
| ۰/۳۴-۱۰/۹۷ | ۰/۲۲-۷/۱۱ | ۰/۷۷-۳/۳۷ | ۰/۰۸-۲/۷ | ۰/۰۳-۱/۳۶ | ۱۴ | دریاچه نمک |
| ۰/۶-۷/۵۵ | ۰/۵۰-۴/۹۵ | ۰/۳۵-۲/۷۴ | ۰/۲۵-۱/۷۷ | ۰/۱۰-۰/۷۲ | ۷ | دشت کویر |
| ۱۲/۸۷ | ۱۰/۵۹ | ۷/۵۷ | ۰/۲۹ | ۲/۲۸ | ۱ | پختگان |
| ۰/۶-۱۵/۰۸ | ۰/۲۳-۱۱/۸ | ۰/۲-۸/۱۳ | ۰/۰۸-۵/۷۱ | ۰/۰۳-۲/۸۷ | ۲۹ | مجموع |



شکل ۲ ضریب منطقه‌ای فرمول کریگر با دوره بازگشت‌های ۲ و ۵۰ ساله در ایستگاه‌های مطالعاتی به ترتیب مساحت (کیلومترمربع)

جدول ۶ نسبت ضریب منطقه‌ای در ایستگاه‌های هم‌جوار

| نسبت ضریب کریگر در دو ایستگاه با دوره بازگشت‌های مختلف | | | فاصله دو ایستگاه (کیلومتر) | ایستگاهها | زیر حوضه |
|--|-------|-------|-------------------------------|-------------------|---------------|
| ۱۰ | ۵ | ۲ | | | |
| ۲/۷۷ | ۲/۶۶ | ۱/۹۷ | ۲۶۳ | بنکوه- دلیچای | دشت کویر |
| ۳/۵۶ | ۳/۳۸ | ۲/۰۶ | ۲۵/۹ | بنکوه- سیمین دشت | |
| ۱/۲۹ | ۱/۲۷ | ۱/۰۴ | ۲/۱۴ | دلیچای- سیمین دشت | |
| ۱/۹۷ | ۲/۳۸ | ۲/۳۹ | ۱۰/۵۱ | نمود- جبله رود | |
| ۱/۱۵ | ۱/۱۶ | ۱/۵۱ | ۱۴/۳ | اسفراین- عراقی | |
| ۲۵/۹۲ | ۲۷/۷۸ | ۲۵/۲۶ | ۱۸/۱ | یالقان- سولان | |
| ۲/۰۷ | ۳/۳۶ | ۳/۲۴ | ۳۳/۳ | یالقان- صالح آباد | دریاچه نمک قم |
| ۵/۹ | ۷/۵ | ۸/۷۸ | ۳۵/۵ | عمرآباد- سولان | |
| ۱/۰۴ | ۱/۱۶ | ۱ | ۱۷/۹۵ | رازین- جلایر | |
| ۱ | ۱/۲۴ | ۲/۱۶ | ۱۳/۵ | دهصومعه- دریند | |
| ۱/۳۹ | ۱/۳۳ | ۱/۰۵ | ۱۶/۶ | درکه- روک | |
| ۳/۴۳ | ۴/۳۸ | ۵/۱۷ | ۱۷/۳ | اسکندری- مندرجان | گاوخرنی |
| ۲/۲۲ | ۲/۸۹ | ۳/۴۲ | ۱۷/۹۴ | جیرفت- قيه‌العرب | يزد- کرمان |

جدول ۷ نتایج حاصل از اعتبارسنجی ضریب منطقه‌ای

| ایستگاه | سراب هنده | یالقان | سولان | صالح آباد | عمرآباد | مندرجan | رازین | سپیرا | دربند | عرقی |
|--------------------|-----------|--------|----------|-----------|---------|---------|----------|-----------|---------|---------|
| E _{NS} | -15830 | 0/57 | 0/66 | -0/09 | 0/36 | -5/83 | 0/56 | 0/97 | 0/91 | 0/45 |
| MAPE | 77/97 | 27/78 | 30/33 | 47/79 | 43/55 | 115/29 | 69/99 | 10/22 | 14/82 | 34/84 |
| ایستگاه حاجی‌عرب | روودک | نمود | حلمه‌رود | اسکندری | جلایر | اسفرجان | چمریز | دامن | جیرفت | -114/18 |
| E _{NS} | 0/50 | 0/50 | 0/78 | 0/19 | 0/36 | 0/17 | 0/85 | -2/00 | -114/18 | 367/15 |
| ایستگاه قریه‌العرب | گلزار | درکه | بنکوه | اسفراین | دلیچای | سولاقان | ده‌صومعه | سیمین‌دشت | | 0/96 |
| E _{NS} | -10/12 | 0/78 | 0/24 | -3/66 | 0/21 | 1/00 | 0/96 | 0/79 | | 11/44 |
| MAPE | 122/75 | 25/55 | 40/36 | 51/39 | 35/21 | 23/55 | 52/31 | 21/64 | 93/14 | 367/15 |

۵. نتیجه‌گیری

از آنجائی که برآورد دبی سیلابی در مناطق بدون آمار مهم ترین مشکل برنامه‌ریزان و مدیران منابع آب می‌باشد، نیاز به بهره‌گیری مناسب از روش‌های ساده و کارآمد، همانند استفاده از فرمول‌های تجربی که به داده‌های کم حساس نباشند، امری اجتناب ناپذیر است و در این بین، واسنجی ضرایب منطقه‌ای آن‌ها از اهمیت خاصی برخوردار است.

معمولًاً تصور براین است که با افزایش مساحت حوضه، مقدار دبی حداقل افزایش می‌یابد، لکن با وجود تفاوت واضح در مساحت حوضه‌های مطالعاتی، ارتباط معنی‌داری بین مساحت و ضریب منطقه‌ای فرمول کریگر در حوضه ایران مرکزی مشاهده نگردید (شکل ۲). این احتمال وجود دارد که با توجه به ساختار و ماهیت فرمول کریگر از لحاظ شرایط منطقه‌ای که مدل برای اولین بار در آن ارائه شده است، تنوع اقلیمی و زمین ساختی و مرفولوژیکی حاکم در حوضه ایران مرکزی، باعث کمزنگ شدن پارامتر مساحت گردیده است.

لذا مقدار ضریب منطقه‌ای در مساحت‌های متفاوت، روند خاصی را کسب نکرده و عدم همبستگی این دو پارامتر در دوره بازگشت‌های مختلف کاملاً واضح می‌باشد. لیکن بر اساس همچواری ایستگاه‌های مطالعاتی در منطقه، بازه خاصی برای مقدار این ضریب بیان گردید (جدول ۶).

همچنین در برخی از ایستگاه‌های همچوار، با افزایش دوره بازگشت، خطای تعییم بیشتری می‌شود. لذا در مواردی که برآورد دبی با دوره بازگشت‌های بالاتر مد نظر باشد، بالطبع برآورد دبی حداقل در حوضه فاقد آمار، میزان خطای افزایش خواهد داد.

با توجه به منفی بودن ضریب نش-ساتکلیف (جدول ۷)، در ایستگاه‌های سراب‌هنده، صالح‌آباد، مندرجان، دامن، جیرفت، قریه‌العرب و بنکوه، روش تجربی کریگر مدل دقیق و با اعتبار بالایی جهت برآورد دبی حداقل لحظه‌ای

نمی باشد. در ایستگاههای عمرآباد، جلایر، درکه، اسکندری، حبله رود، اسفراین و عراقی، هر چند مقدار این آماره مثبت است، ولی اعتبار زیادی جهت برآورد دبی حداکثر ندارد. در سایر ایستگاهها، مقدار این آماره بیشتر از $5/0$ بوده که نشان از اعتبار مدل کریگر در برآورد دبی حداکثر با دوره بازگشت‌های $2, 5, 10$ ساله دارد. با توجه به آماره MAPE نیز میانگین خطای مطلق روش کریگر در کل حوضه ایران مرکزی $54/85$ درصد می‌باشد.

نتایج حاصل از این پژوهش با نتایج مهدوی و خلیقی (۱۳۷۶)، مبنی بر هم‌خوانی ضرایب منطقه‌ای در حوضه مورد بررسی، تا حدودی متفاوت بوده است و در بیشتر حوضه‌ها مقادیر این ضریب کاهش یافته است. که با توجه به اختلاف دوره‌های آماری، احتمالاً به مبحث روند تغییرات اقلیمی، ارتباط دارد که تحقیقات خاص خود را می‌طلبند. همچنین نتایج این تحقیق با یافته‌های سیدعلی و همکاران (۱۳۸۹)، مبنی بر پایین بودن ضرایب منطقه‌ای در منطقه هم‌خوانی دارد. بطورکلی مقادیر ضریب حاصله در این پژوهش نسبت به تحقیق کرکوتی و همکاران (۲۰۱۰)، کمتر بوده که یقیناً به اختلاف حوضه‌های مطالعاتی ارتباط دارد.

فهرست منابع و مأخذ

- اخوان، سمیرا، عابدی کوپایی، جهانگیر، موسوی، سید فرهاد، عباسپور، کریم، افیونی، مجید و اسلامیان، سید سعید. (۱۳۸۹). تخمین آب آبی و آب سبز با استفاده از مدل SWAT در حوضه آبریز همدان، بهار. مجله علوم و فنون کشاورزی و منابع طبیعی، علوم آب و خاک، شماره ۵۳.
- اعتمادی، حسین. (۱۳۷۶). بررسی تغییرات ضریب رواناب سطحی در یک حوزه آبخیز (مطالعه موردی در حوزه آبخیز در جزین سمنان). پایان نامه کارشناسی ارشد، به راهنمایی دکتر محمد مهدوی، دانشگاه تربیت مدرس. ۸۶ ص.
- جایدری، اعظم، فتحزاده، علی، تقی‌زاده مهرجردی، روح‌الله، دستورانی، محمدتقی، فتاحی اردکانی، احمد. (۱۳۹۱). مقایسه روش‌های مختلف بازسازی و تطویل داده‌های دبی حداکثر لحظه‌ای، نشریه مرتع و آبخیزداری، مجله منابع طبیعی ایران، دوره ۶۴، شماره ۴.
- حیات‌زاده، مهدی. (۱۳۸۷). ارزیابی کارایی روش تجربی فولر در برآورد دبی حداکثر جریان و کالیبراسیون ضریب منطقه‌ای آن در محدوده ایران مرکزی. پایان نامه کارشناسی ارشد، به راهنمایی دکتر محمد تقی دستورانی، دانشگاه یزد. ۱۶۸ ص.
- زارع سلمان، حزبی عبدالجلیل، جندقی نادر، عباسی محسن. (۱۳۸۸). برآورد دبی حداکثر سیل در دوره بازگشت‌های مختلف با استفاده از روابط تجربی برای حوزه‌های کوچک (مطالعه موردی: حوزه آبریز تولینه گرگان) پنجمین همایش ملی علوم و مهندسی آبخیزداری ایران. دانشگاه گرگان، ایران.
- سیدعلی، سمیه، فتح‌زاده، علی، عسگری، مهری و حبیبی کرد علیوند، سمیه. (۱۳۸۸). واسنجی ضریب منطقه‌ای کریگر در نواحی خشک (مطالعه موردی استان یزد). دومین همایش ملی اثرات خشکسالی و راهکارهای مدیریت آن، اصفهان.

- کرکوتی، علیرضا، نظریها، مهرداد، باغوند، اکبر، جعفری سلیم، بابک، کرباسی، عبدالرضا، ثوق، علی، (۱۳۸۹). برآورد مقدار سیلاب حداکثر به روشهای مشاهده‌ای، کریگر و SCS (مطالعه موردي: رودخانه قرهسو در کرمانشاه)، فصلنامه محیط‌شناسی، ۵۵، ۹۹-۱۱۰.
- محمدپور، مسلم، آخوندعلی، علی‌محمد و نساجی زواره، مجتبی. (۱۳۸۶). برآورد آبدهی در حوزه‌های فاقد آمار به روشن ایکر و جاستین (مطالعه موردي حوزه آبریز رودخانه‌های اعلاه و رود زرد)، نهمین سمینار سراسری آبیاری و کاهش تبخیر، کرمان، دانشگاه شهید باهنر، انجمن مهندسی آبیاری و آب، ص ۸.
- مهدوی، محمد. (۱۳۹۰). هیدرولوژی کاربردی، انتشارات دانشگاه تهران، جلد دوم، چاپ چهارم.
- مهدوی، محمد و خلیقی سیگارودی، شهرام. (۱۳۷۶). بررسی ضریب منطقه‌ای کریگر در ایران. مجله منابع طبیعی، جلد ۵۰ شماره ۲.
- وفاخواه، مهدی و ایزانلو حسن. (۱۳۸۸). مقایسه روش‌های مختلف برآورد دبی حداکثر سیلاب در حوزه آبریز کوشک آباد خراسان رضوی. پنجمین همایش ملی علوم و مهندسی آبخیزداری ایران.
- هادیان‌امری، محمدعلی، حبیب‌نژادروشن، محمود و امیدوار، ابراهیم. (۱۳۸۹). ارزیابی توزیع‌های مختلف آماری در برآورد دبی حداکثر سیلاب با دوره‌های بازگشت مختلف در حوزه آبریز تجن، ششمین همایش ملی علوم و مهندسی آبخیزداری، دانشکده منابع طبیعی و علوم دریایی دانشگاه تربیت مدرس.
- مهدوی، محمد، وفاخواه مهدی، ایوب زاده سیدعلی، علی اکبر جمالی، (۱۳۸۹). بررسی حساسیت تعدادی از روش‌های تجربی هیدرولوژیکی در برآورد دبی حداکثر نسبت به سطح حوزه در برخی از حوزه‌های آبخیز ایران، مجله منابع طبیعی ایران، شماره ۵۷ (۲)، ۴۱۴-۴۰۳.
- یزدانی، محمدرضا، مهدوی، محمد، حسینی‌چگینی، ابراهیم و وفاخواه، مهدی. (۱۳۸۵). برآورد بیشترین بدله لحظه‌ای سیل در حوزه‌های آبخیز کوچک، مجله منابع طبیعی ایران، جلد ۵۹، شماره ۲، ص ۳۶۳-۳۵۳.
- Akhavan, S., Abedi Koupaee, J., Mousavi, S.F., Abbaspour, K., Afyuni, M., Eslamian, S.S., 2010. Estimation of Blue Water and Green Water Using SWAT Model in Hamadan-Bahar Watershed, Soil and Water Sciecne 14(53), 9-23.
- Amini, M., Abbaspour, K. C., Khademi, H., Fathianpour, N., Afyuni, M. and Schulin, R. 2005. Neural network models to predict cation exchange capacity in arid regions of Iran. Euro. Journal Soil Science 53, 748–757.
- Biondic, D., Barbalic, D., Petras, J. 2002a. Envelope curves of maximum specific discharges in the Danube River catchment area in Croatia. In: Proc. XXIst Conference of the Danube Countries on Hydrological Forecasting and Hydrological Bases of Water Management (Bucharest, Romania).
- Biondic, D., Barbalic, D., Petras, J. 2002b. Creager and Francou-Rodier envelope curves for extreme floods in the Danube River basin in Croatia. Predictions in Ungauged Basins: PUB Kick-off (Proceedings of the PUB Kick-off meeting held in Brasilia, November). IAHS Publ. 309 pp.
- Etemadi, H., 1997. Investigation on Runoff Coefficient variation in a watershed (Case study: Darjazin Watershed, Semnan), M.Sc Thesis, University of Tarbiat Modares, Tehran. 86 pp.

- Hadian Amri, M.A., Habibnejad Roshan, M., Omidvar, E., 2010. Evaluation of some statistical distribution in order to peak flood estimation with different return periods in Tajan watershed, 6th National conference of engineering and science of watershed management, Natural resources college of Tarbiat Modarres University, Noor, Iran.
- Hayat Zadeh, M., 2008. Evaluation of Fuller Empirical Formula in Peak Flood data and Calibration of it's Regional Coefficient in Central part of Iran, M.Sc Thesis, University of Yazd, Yazd. 168 pp.
- Hinks, J.L., Dedja, Y. 2002. Rehabilitation of Irrigation Dams in Albania in Reservoirs in a Changing World, 12th Conference of the British Dam Society.
- Jamali, A.A., Ayyoubzadeh, S.A. & Mahdavi, M. 2006. Calibration of hydrologic empirical method for estimating the flood peak in the Uromia lake watershed in Iran. 1st National Symposium on hydropower, flood control and water, Iran.
- Jaydari1, A., Fathzadeh, A., Taghizadeh Mehrjardi, R., Dastorani, M.T., Fatahi, A., 2011. Comparison of the efficiency of different methods for reconstruction and prolongation of instantaneous peak flow data, Journal of Range and Watershed Management 64(4), 387-399.
- Karkouti A.R., Nazariha M., Baghvand A., Jafari Salim B., Karbasi A.R., Vosough A., 2010. Determination of maximum flood flow by use of sampling (observe) Creager and SCS method (Case study: Gharasoo river, Kermanshah, Iran), Journal of Environmental Studies 36 (55), 99-110.
- Mahdavi, M., 2011. Applied Hydrology, University of Tehran Publication, Vol. 2, 441 p.
- Mahdavi, M., Kalighi, S., 1997. Investigation on Regional Coefficient of Creager in Iran, Iranian Journal of Natural Resources 50 (2), 91-99.
- Mahdavi, M., Jamali, A. A., Ayyoubzadeh, S. A., Vafakhah, M., 2010. A Sensitivity Study of some Hydrologic Empirical Methods for Estimating Flood Peak as Related to Drainage Area in Watersheds in Iran, Iranian Journal of Natural Resources 57 (2), 403-414.
- Mohammadpoor, M., Akhoonali, A.M., Nassaji Zavvareh, M., 2007. Estimation of runoff in no-data watersheds by ICAR and Justin method (Case study: A'ala & Zard river), 9th national conference of irrigation and reduce evaporation, Kerman, Iran.
- Ohnishi, R., Kato, T., Imaizumi, M., & Tanji, H. 2004. A Study to determine an equation of enveloping curve for regional flood peaks by maximum rainfall data. Paddy Water Environment 2, 83-90.
- Seyedali, S.S., Fathzadeh, A., Asgari, M., Habibi, S., 2009. Calibration of Regional Coefficient of Creager in Arid Area (Case Study: Yazd Province), 2nd National Conference on Drought Effect and its Management options, Isfahan, Iran.
- Vafakhah, M., Izanloo, H., 2009. Comparison of some peak flood discharge formula in Kooshk Abad watershed of Razavi Khorasan, 5th National conference of engineering and science of watershed management, Gorgan, Iran.
- Yang, Z.P., Lu, W.X., Long, Y.Q. 2009. Application and comparison of two prediction models for groundwater levels: A case study in Western Jilin Province, China, Journal of Arid Environments 73, 487–492.
- Yazdani, M.R., Mahdavi, M., Hosseini Chegini, E., Vafakhah, M., 2006. Maximum Flood Discharge Estimation for Small Watersheds, Iranian Journal of Natural Resources, 59(2), 353-363.

Zare, S., Jandaghi, N., Abbasi, M., 2009. Estimation of peak flood discharge at different return period using empirical formula for small watersheds (Case study: Tulbaneh of Grorgan watershed), 5th National conference of engineering and science of watershed management, Gorgan, Iran.

